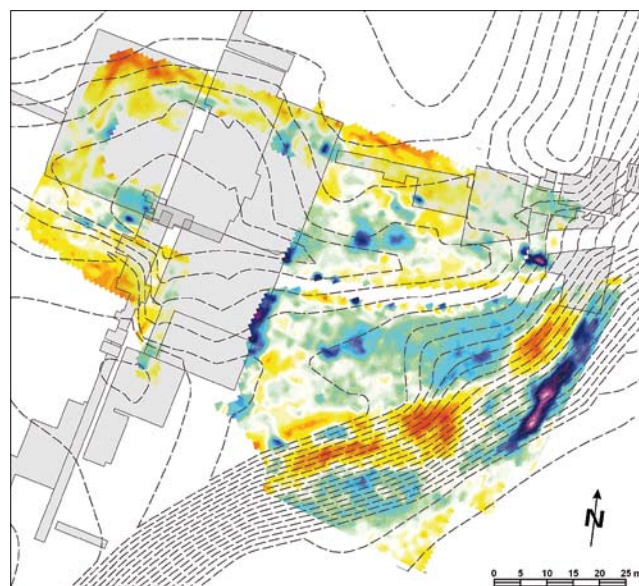


Obr. I. Libice nad Cidlinou – akropole. Nedestruktivní výzkum a povrchové sběry. A: výškový model, B: koncentrace středohradištní keramiky, C: koncentrace mladohradištní keramiky, D: koncentrace hradištní keramiky, E: průměrná hmotnost fragmentů keramiky, F: koncentrace opukových kamenů. Kresba: J. Mařík

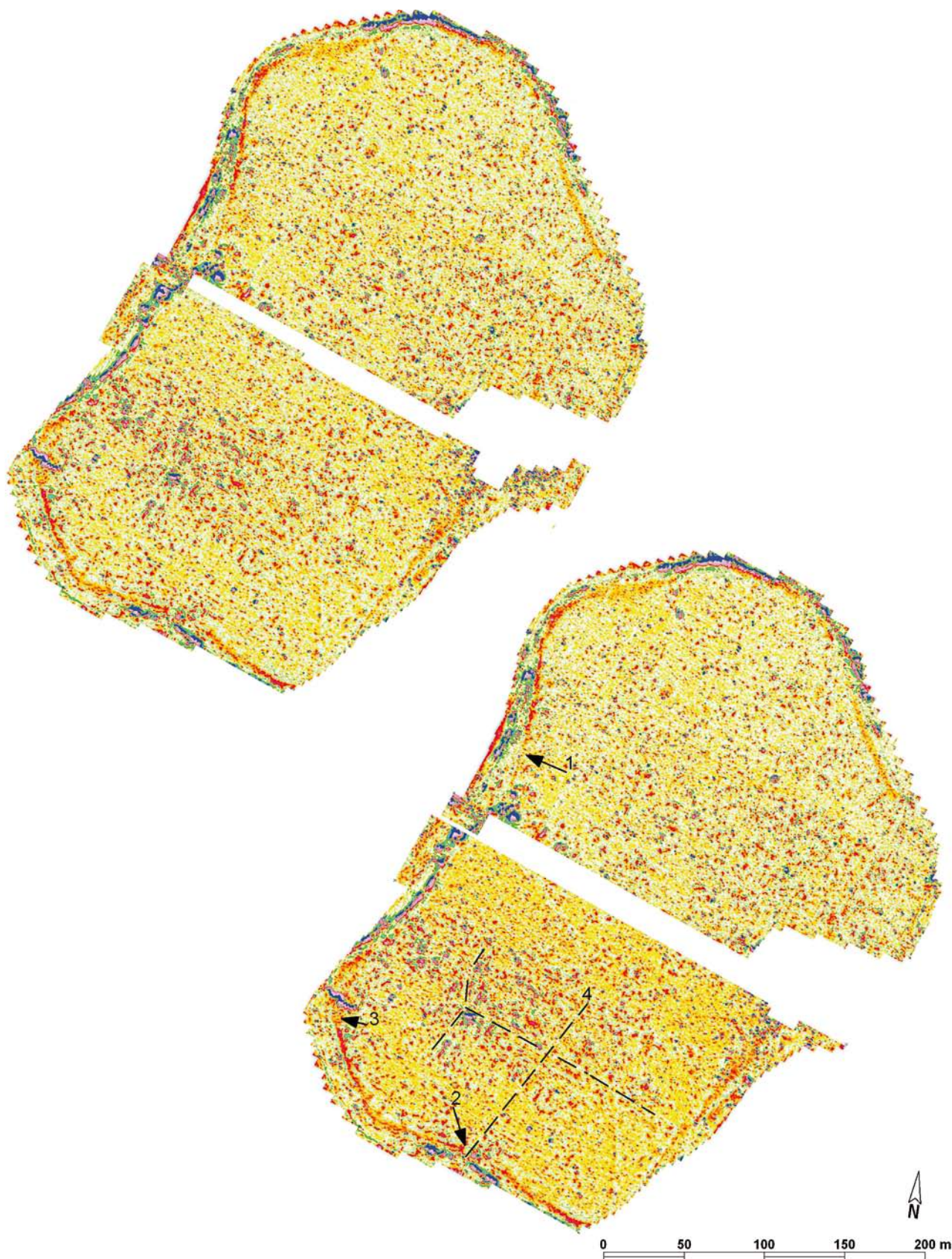


Obr. II. Libice nad Cidlinou – akropole. Letecký snímek. Foto: M. Gojda



Obr. III. Rozlišení novodobých úprav terénu a pod-povrchového reliktu obvodového valu v bezprostředním okolí kostela a paláce ve východní části akropole, geoelektrický odporový průzkum (zkoumaná plocha: cca 0,5 ha; Křivánek 2009). Měření: R. Křivánek



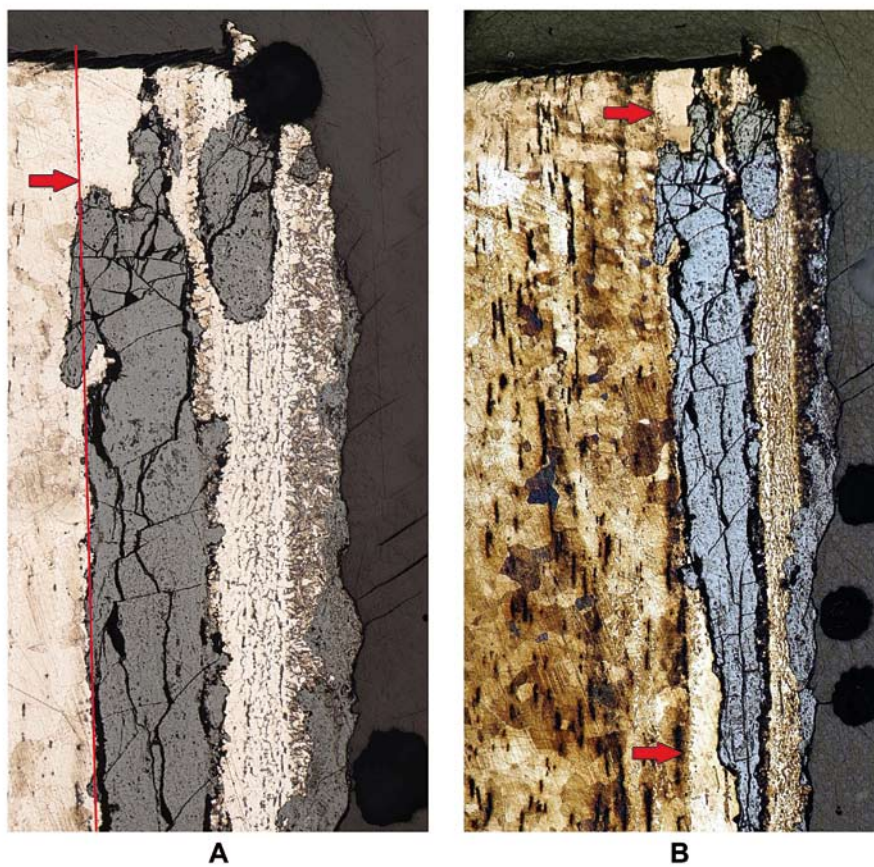


Obr. IV. Rozlišení intenzivního plošného osídlení a reliktvů obvodového opevnění hradiště z výsledků plošného magnetometrického průzkumu akropole (zkoumaná plocha: cca 10 ha; Křivánek 2008–2009). 1: odklonění vnitřního hradebního příkopu od hradby v místě brány (?), 2: brána v jižní části akropole, 3: narušení průběhu opevnění, 4: předpokládaný průběh komunikací. Kresba: J. Mařík, R. Křivánek

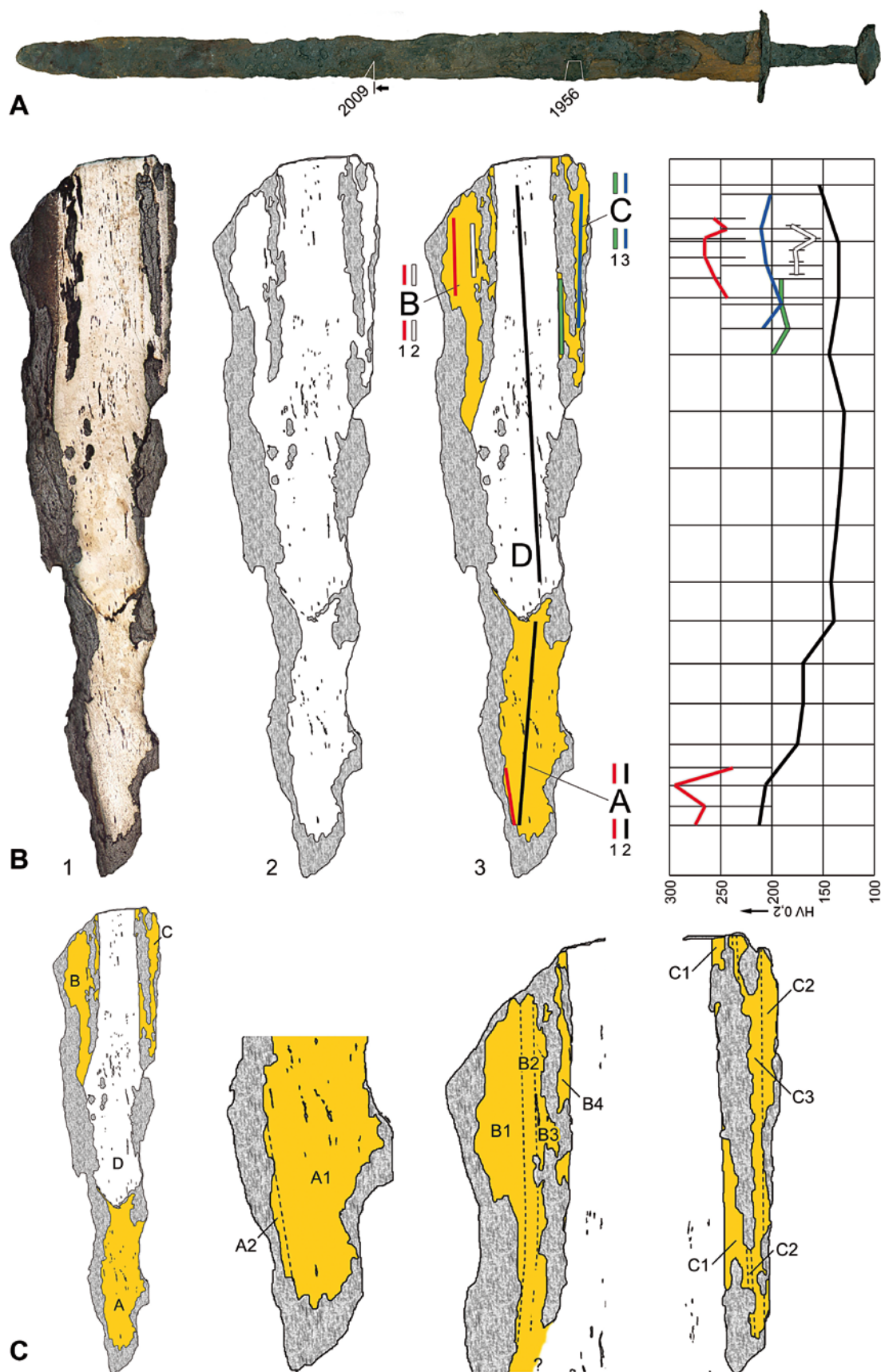




Obr. V. Libice nad Cidlnou, akropole – sonda S. Nádoby s plastikou aplikací pokládáné za napodobeniny tzv. Relifband-amfor. Foto: Pavla Tomanová

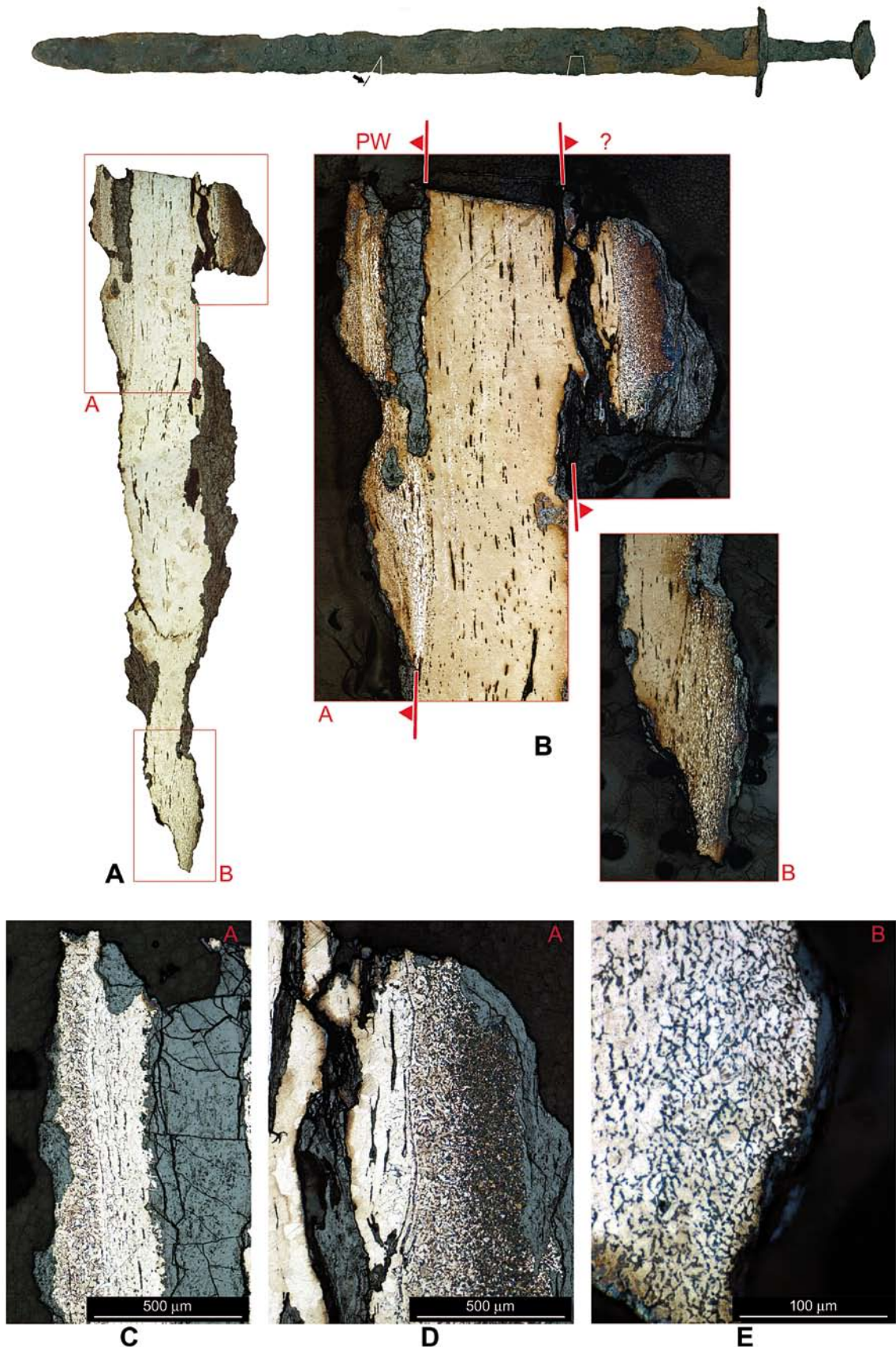


Obr. VI. Meč z hrobu 227a. A, B: pohled na oblast C (napojení oblasti C je vymezeno šipkami); leptáno nitalem (A) a Oberhofferovým roztokem (B). Foto: J. Hošek

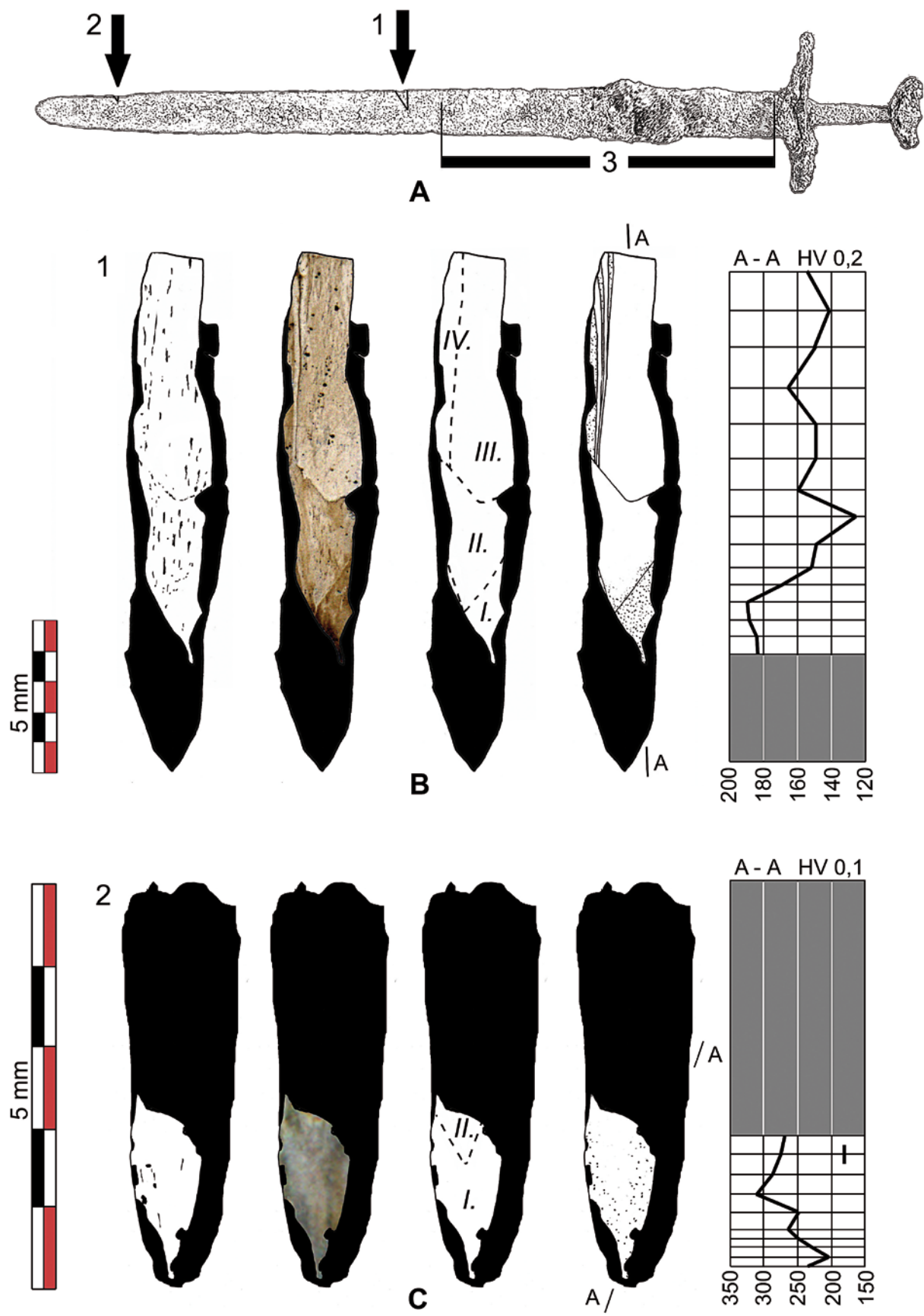


Obr. VII. Meč z hrobu 227a. A: zbraň s vyznačením polohy odběru vzorků (z roku 1956 a z roku 2009); B.1: makrosnímek vzorku po silnějším naleptání nitaem; B.2: nákres vzorku (vymezení kovového jádra a koroze nebo vměstků); B.3: vymezení hlavních oblastí vzorku (A až D) a graf průběhu tvrdosti (Vickersova metoda; 0,2 kg); C: detailní vymezení popisovaných oblastí. Foto a kresba: J. Hošek



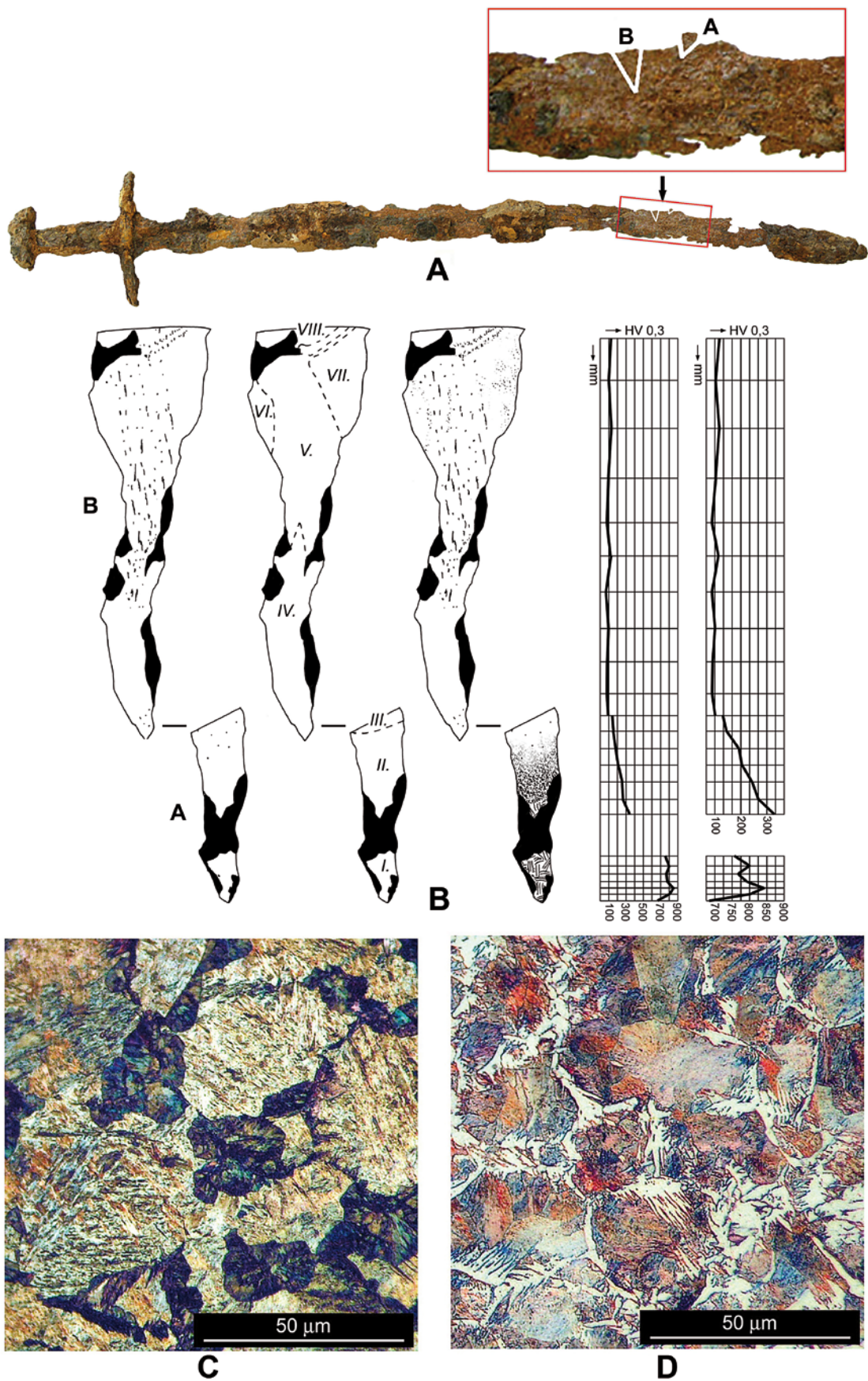


Obr. VIII. Meč z hrobu 227a. A: makrosnímek vzorku v druhé rovině řezu po naleptání nitalem; B: střední část čepel (A) a břit (B) po naleptání Oberhofferem; u snímku (A) jsou naznačeny hranice napojení postranních částí (povrchových panelů); C: detail „levého“ povrchového panelu; D: detail „pravého“ povrchového panelu; E: feriticko-perlitická struktura v dochované břítové hraně; leptáno nitalem. Foto: J. Hošek



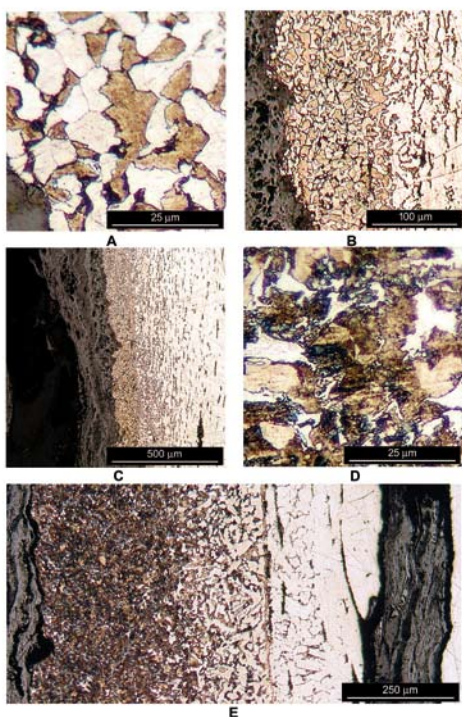
Obr. IX. Meč z hrobu 54. A: přehled zkoumaných míst čepel; B: schématický nákres vzorku příčného řezu. Zleva: naleptaný stav, po naleptání Oberhofferem, rozložení popisovaných oblastí, po naleptání nitalem. Kresby: J. Hošek



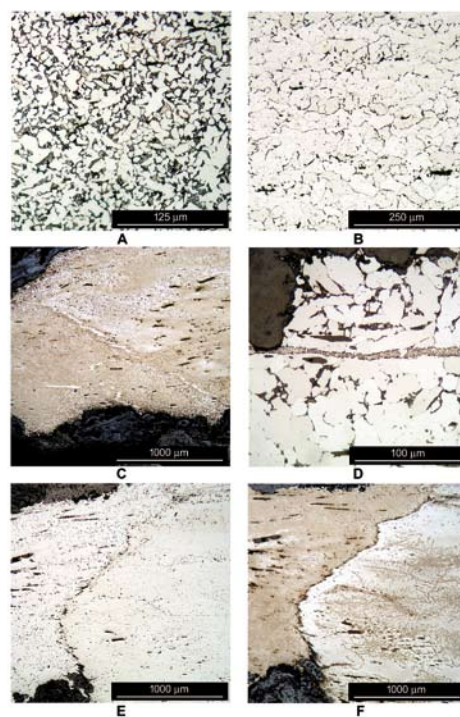


Obr. X. Meč z hrobu 184. A: meč v nekonzervovaném stavu s vyznačením míst odběru vzorků; B: schematické nákresy metalografických výbrusů čepel (zleva: naleptaný stav, rozložení popsaných strukturních oblastí, schématický nákres struktur po naleptání nitalem); C: směs martenzitu a troostitu v oblasti I; D: struktura perliticko-feritická v oblasti II, blíže ostří; vše leptáno nitalem. Foto a kresba: J. Hošek

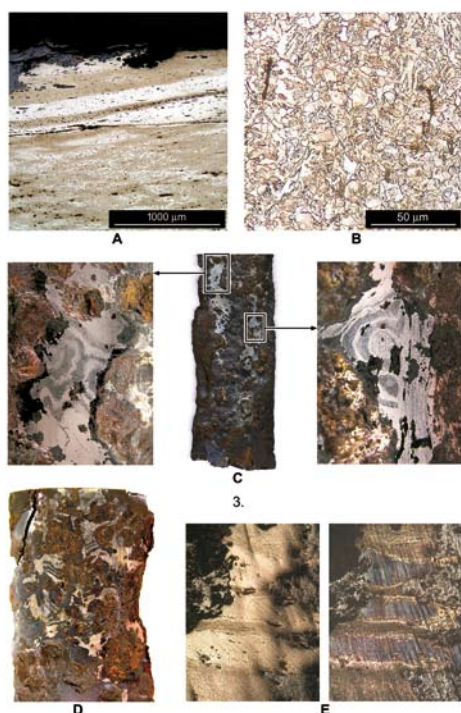




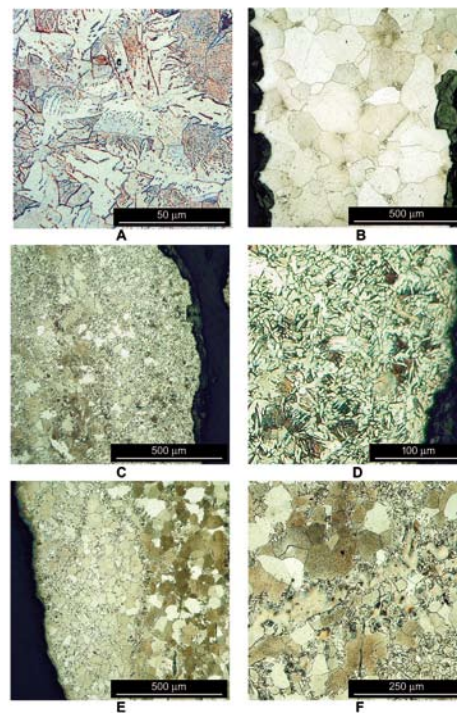
Obr. XI. Meč z hrobu 227a. A: zrna martenzitu a feritu v oblasti A2; B, C: pohled na oblasti A2 a A1; D: směs zrn přechodného perlitu a feritu v oblasti B1; E: pohled na oblast B; leptáno nitalem. Foto: J. Hošek



Obr. XII. Meč z hrobu 54. A: feriticko-perlitická struktura břitu (oblast I), (nital); B: feritická struktura oblasti II, (nital); C: svar mezi oblastmi I a II (Oberhoffer); D: detail obohacené svarové linie mezi oblastmi I a II (nital); E: svar mezi tělem a břitem (oblasti II a III), (nital), (nital); F: dtto (Oberhoffer). Foto: J. Hošek



Obr. XIII. Meč z hrobu 54. A: damaskový panel (oblast IV) napojený na železné tělo (oblast III), (Oberhoffer); B: struktura vzorku 2, oblast I. (nital); C, D: boční nábrusy na čepeli s damaskováním /první strana/, (Oberhoffer); E: detail z bočního nábrusu na čepeli /druhá strana/, (nital, Oberhoffer). Foto: J. Hošek



Obr. XIV. Meč z hrobu 184. A: struktura feriticko-perlitická v oblasti II, dále od ostří; B: ferit v oblasti IV; C: přechod mezi oblastmi V (vlevo) a VII (vpravo); D: detail oblasti VII, místo bohatší uhlíkem; E: přechod mezi oblastmi VI (vlevo) a V (vpravo); F: svarová linie mezi oblastmi V (dole) a VIII (nahore); vše leptáno nitalem. Foto a kresba: J. Hošek